

واکاوی تغییرات زمانی - مکانی و پیش‌بینی آینده یخبدان‌های استان همدان

سحر عافیتی؛ کارشناس ارشد آب و هواشناسی، دانشگاه خوارزمی، تهران، ایران

بهلول علیجانی؛ استاد تمام آب و هواشناسی، دانشگاه خوارزمی، تهران، ایران

سید محمد حسینی؛ دانشیار آب و هواشناسی، دانشگاه سید جمال الدین اسدآبادی، اسدآباد، ایران

دریافت مقاله: ۱۴۰۱/۰۴/۲۵ پذیرش نهایی: ۱۴۰۳/۰۲/۱۰

چکیده

سرما و یخبدان، یکی از مخاطرات اقلیمی است که همه ساله باعث ایجاد خسارت در فعالیت‌های مختلف می‌گردد. از سوی دیگر تغییر اقلیم سبب تغییرات مکانی و زمانی یخبدان می‌شود. هدف این پژوهش تحلیل تغییرات زمانی - مکانی و پیش‌بینی آینده یخبدان‌های استان همدان است. جهت پیش‌نگری دمای حداقل روزانه استان از مدل CanESM2 استفاده شد و ریزمقیاس‌نمایی داده‌های مدل‌های گردش کلی با استفاده از مدل LARS-WG صورت گرفت. شبیه‌سازی پارامترهای فوق برای دوره ۳۰ ساله (۲۰۲۱-۲۰۵۰) و تحت سه سناریوی RCP4.5، RCP2.6 و RCP8.5 برای ایستگاه‌های منتخب انجام شد. نتایج حاصل از بررسی ماهانه دمای کمینه در ایستگاه‌های مطالعاتی استان نشان داد که دمای کمینه در دوره (۲۰۲۱-۲۰۵۰) در همه ایستگاه‌های مورد بررسی بر طبق هر سه سناریو و در همه ماههای سال نسبت به دوره پایه افزایش خواهد داشت. متوسط دمای کمینه استان برابر با $5/2$ درجه سلسیوس است که این مقدار در دهه‌های آتی بر اساس سناریوهای RCP4.5 و RCP2.6 به ترتیب به $6/2$ و $6/3$ درجه سلسیوس خواهد رسید که بیشترین تغییرات مربوط به ایستگاه نوژه و کمترین آن مربوط به همدان است. توزیع فضایی آغاز و پایان یخبدان در دوره آینده بیانگر آن است که یخبدان در نواحی شمال شرقی و شمالی استان زودتر از سایر مناطق استان شروع و دیرتر خاتمه می‌یابد در حالی که در نواحی جنوبی استان، دیرتر شروع و زودتر به پایان می‌رسد. نتایج حاصل از بررسی تغییرات آغاز یخبدان در دهه آینده نسبت به دوره پایه نشان داد که در همه ایستگاه‌های مورد مطالعه، آغاز یخبدان بین ۳ تا ۱۱ روز کاهش خواهد یافت.

واژه‌های کلیدی: مدل‌سازی، ریزمقیاس‌نمایی، سناریوهای اقلیمی، تغییر اقلیم.

مقدمه

امروزه تغییر اقلیم یکی از چالش‌های اساسی جهان به حساب می‌آید و بنابر اهمیتی که در ساختار محیطی کره زمین و ساکنان آن دارد، تلاش به منظور شناخت هر چه بیشتر آن امری مسلم و ضروری است (مریانجی و براتیان، ۱۳۹۵). مهم‌ترین پیامدهای تغییر اقلیم افزایش میانگین دما، افزایش رویدادهای حدی اعم از سیل، خشکسالی، امواج گرمایی، سرماهای نابهنجام و ... خواهد بود (مظفری و همکاران، ۱۳۹۳). از آنجا که دما از پارامترهای اساسی شکل‌گیری اقلیم یک منطقه است، تغییرات آن می‌تواند ساختار آب‌وهوايی آن را دگرگون کند (اميدوار و همکاران، ۱۳۹۴). یکی از مشخصه‌های اقلیمی که از پدیده گرمایش جهانی تاثیر می‌پذیرد تعداد روزهای همراه با یخ‌بندان است (آذرخشی و همکاران، ۱۳۹۲) و جهانبخش‌اصل و همکاران، ۱۳۹۵). پدیده یخ‌بندان که بر اثر کاهش درجه حرارت هوا تا نقطه انجماد و کمتر از آن به وقوع می‌پیوندد، یکی از رویدادهای آب‌وهوايی است که هر ساله خسارات جبران‌ناپذیری را به بخش‌های مختلف کشاورزی، حمل و نقل، صنعت، توریسم، عمران و... وارد می‌سازد (مصطفی‌زاده و همکاران، ۱۴۰۰). یخ‌بندان با تأثیراتی که در سطح زمین می‌گذارد زندگی انسان‌ها و همچنین فعالیت‌های عمرانی و بازدهی زراعی را تحت تأثیر قرار می‌دهد (اميدوار و اصلانی، ۱۳۹۳؛ صلاحی، ۱۳۹۵). تغییرات شدید دمایی پدیدهای نامطلوب برای گیاهان و جانوران بوده و آثار نامطلوبی نیز بر عناصر طبیعی، سازه‌ها و تأسیسات دارد. وقتی دمای هوا از حد معینی پایین‌تر رود، به سبب نیاز به حد معینی از دما در هر مرحله زیستی، شرایط برای زندگی و فعالیت جانداران دچار مشکل شده است (کاویانی، ۱۳۸۶).

تحقیقات گسترده‌ای در سطح جهان و ایران روی پدیده یخ‌بندان انجام شده است. به عنوان نمونه، طبق خروجی حاصل از ۱۵ مدل گردش کلی جو تحت دو سناریوی RCP4.5 و RCP8.5 جهت بررسی اثرات تغییر اقلیم بر یخ‌بندان‌های بهاری بر محصولات کشاورزی در حوضه آبریز آرا در سویس، شدت وقوع یخ‌بندان در دوره ۲۰۷۰-۲۰۹۹ در سناریو RCP8.5 در مقایسه با دوره پایه ۱/۲ درصد افزایش می‌یابد (Lhotka; Bronnimann, 2002). بررسی تغییرات آب و هوایی بر تعداد روزهای یخ‌بندان و فصل بدون یخ‌بندان در ایالات متحده آمریکا نشان داد که تغییرات اقلیمی منجر به کاهش تعداد روزهای یخ‌بندان و فصل بدون یخ‌بندان شده است (Easterling, 2002). مطابق نتایج ارزیابی ریسک یخ‌بندان دیررس بهاره بر روی تولید سیب درختی تحت شرایط تغییر اقلیم با استفاده از مدل HadCM3 تحت دو سناریو A2 و B2 در ایتالیا، در اثر افزایش دما، گلدهی زود هنگام در درختان میوه رخ می‌دهد که این شرایط سبب آسیب بیشتر درختان از سرما و یخ‌بندان‌های دیررس بهاره می‌گردد (Eccel, et al., 2009). تحلیل اثرات تغییر اقلیم بر یخ‌بندان و فصل رشد در حوضه البه در جمهوری چک تحت سناریوهای اقلیمی تا سال ۲۱۰۰ نشان داد آخرین یخ‌بندان بهاره در هر دهه ۲ روز زودتر و اولین یخ‌بندان پاییزه ۱/۸ روز در هر دهه دیرتر اتفاق می‌افتد. بنابراین دوره‌ی بدون یخ‌بندان ۳/۸ روز در هر دهه افزایش می‌یابد (Potop, et al., 2013). در بررسی اثرات تغییر اقلیم بر شاخص‌های اقلیم کشاورزی در لهستان این نتایج حاصل گردید که تاریخ وقوع یخ‌بندان‌های دیررس بهاره در آینده در اثر گرمایش جهانی تغییر یافته و زمان وقوع آن‌ها زودتر اتفاق می‌افتد (Graczyk; Kundzewicz, 2015). ارزیابی مدل‌های مختلف گردش کلی جو در دشت‌های مرفع و هموار تگزاس مشخص نمود که تا سال ۲۰۷۰ طول فصل بدون یخ‌بندان مابین ۲/۶ تا ۳/۴ هفته طولانی‌تر می‌گردد و همچنین روزهای یخ‌بندان مابین ۱۷/۹ تا ۳۰ درصد، در کل منطقه کاهش می‌یابد (Modala, et al., 2016). مطابق ارزیابی اثرات تغییر اقلیم و خسارات ناشی از

یخندهان‌های بهاره بر شکوفه‌دهی گیلاس در آلمان، افزایش درجه حرارت در دهه‌های آتی فرایند شکوفه‌دهی را تا ۱۷ روز تسريع می‌دهد که این امر یک عامل محدود کننده در تولید گیلاس خواهد بود (Chmielewski, et al., 2018). ارزیابی اثرات تغییر اقلیم بر فراوانی روزهای یخندهان‌ها در کوههای مون بلان به دلیل اهمیت آن در فعالیت‌های ورزشی (اسکی) حاکی از این بود که فراوانی وقوع یخندهان در فصل زمستان و تحت سناریوی بدینانه RCP8.5 مابین ۳۵ تا ۴۵ درصد و در تابستان مابین ۵۰ تا ۵۵ درصد کاهش می‌یابد که این مهم می‌تواند اثرات گستردگی بر محیط زیست (کوچکشدن یخچال، سیل، تغییر در توزیع گونه‌ها و اکوسیستم‌ها) و جوامع (گردشگری تابستانی برای کوهنوردی و پیاده‌روی و گردشگری زمستانی برای اسکی) (Pohl, et al., 2019) داشته باشد.

هم‌چنین در ایران؛ ارزیابی اثرات تغییر اقلیم بر یخندهان‌های زاهدان با استفاده از مدل‌های گردش کلی جو نشان داد تعداد یخندهان‌های سالانه در دهه‌های آتی ۱۸ روز نسبت به دوره پایه کاهش خواهد یافت. هم‌چنین بازه زمانی یخندهان‌های شدید و خیلی شدید در دوره آینده از ۷ ماه دوره مشاهده به ۵ ماه تقلیل خواهد یافت (احمدی و زهرایی، ۱۳۹۲). براساس چشم‌انداز زمان وقوع یخندهان‌های زودرس پاییزه و دیررس بهاره با استفاده از مدل HadCM3 تحت دو سناریوی A2 و B2 در غرب ایران، تاریخ یخندهان پاییزه دیرتر و تاریخ یخندهان بهاره زودتر از گذشته روی می‌دهد (آغازه‌عتمداری و همکاران، ۱۳۹۵). براساس پهنه‌بندی مجموع روزهای یخندهان کشور با استفاده از داده‌های حداقل دمای مدل EH5OM در دو بازه زمانی ۲۰۲۶-۲۰۱۵ و ۲۰۵۰-۲۰۳۹ تحت سناریوی A1B بیشترین روزهای یخندهان کشور در ماه فوریه و در نوار کوهستانی زاگرس، آذربایجان و بلندی‌های البرز و خراسان با ۳۰۰ روز خواهد بود (امیدوار و همکاران، ۱۳۹۵). پیش‌نگری اثرات احتمالی تغییر اقلیم بر تاریخ و ریسک خسارت رخداد یخندهان‌های دیررس بهاره طی قرن بیست و یکم در ایران با استفاده از مدل CGCM3 تحت سناریوهای انتشار A2 و A1B مشخص نمود که در دهه‌های آتی ریسک یخندهان دیررس بهاره کمتر خواهد بود (خلیلی و همکاران، ۱۳۹۶). آغاز یخندهان‌های پاییزه استان خراسان جنوبی در ماه نوامبر بوده که به نخستین یخندهان‌های پاییزه معروف است. شروع یخندهان‌های زمستانه استان نیز در ماه ژانویه بوده است (رستمیان و حلیبان، ۱۳۹۷). واکاوی تعداد روزهای یخندهان ایستگاه همدید گرگان با رویکرد تغییر اقلیم در بازه‌ی زمانی ۵۴ ساله (۲۰۱۵-۲۰۶۸) حکایت از این داشت که دمای کمینه برای ایستگاه گرگان افزایش یافته و تعداد روزهای یخندهان کاهش معناداری داشته است؛ به طوری که میانگین تعداد روزهای یخندهان از ۱۶ روز دوره‌ی پایه به ۸ روز در سناریوی ۲/۶، حدود ۷ روز در سناریوی ۴/۵ و ۶ روز در سناریوی ۸/۵ خواهد رسید (کاشکی و همکاران، ۱۳۹۷). در ارزیابی تغییرات شروع و خاتمه یخندهان‌ها و سرماهای مؤثر در کشاورزی تحت شرایط تغییر اقلیم در شمال غرب ایران میانگین ماهانه حداقل و حداقلتر دمای روزانه در دوره آتی تا حدود ۰/۰ درجه سلسیوس در ایستگاه‌های مورد مطالعه افزایش خواهد داشت. بر این اساس وضعیت یخندهان‌ها و سرماها نیز در آینده نسبت به دوره پایه تغییر کرده به طوری که اولین سرما و یخندهان‌های پاییزه در دوره آتی دیرتر از قبل آغاز شده و سرما و یخندهان‌های بهاره نیز زودتر به پایان می‌رسند. همچنین طول دوره سرما و یخندهان نیز کاهش می‌یابد، که این می‌تواند بیانگر پیامد تغییر اقلیم در ایستگاه‌های مطالعاتی باشد (جعفری‌گلو و همکاران، ۱۳۹۷). مدل‌های رگرسیونی چند متغیره، برای بررسی ارتباط بین پنج شاخص آماری یخندهان (متوسط تاریخ آغاز یخندهان، متوسط تاریخ خاتمه یخندهان، متوسط تعداد سالانه روزهای یخندهان، متوسط طول فصل یخندهان و متوسط طول فصل رشد) با سه عامل ارتفاع، طول و

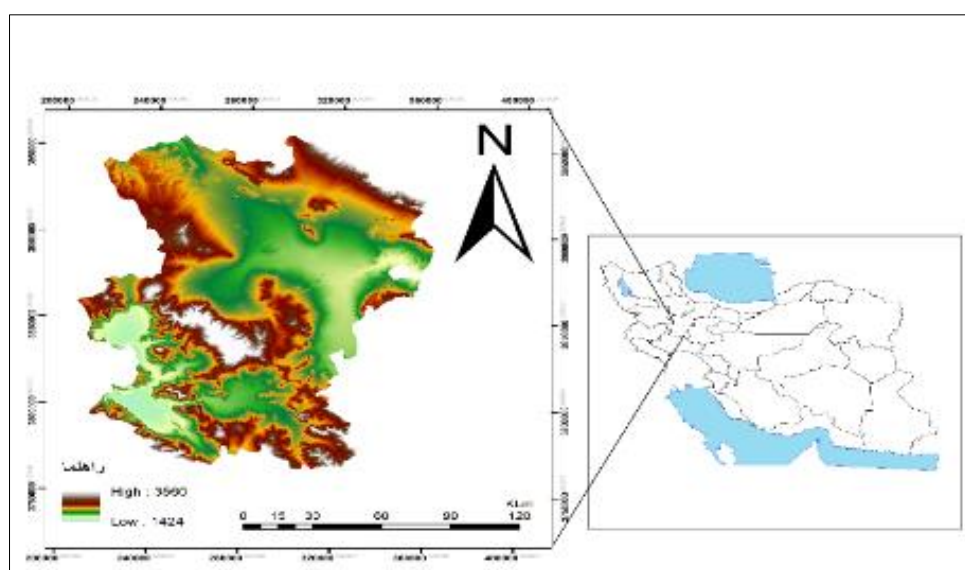
عرض جغرافیایی در استان کردستان مورد بررسی قرار گرفت و در نهایت بر اساس مدل‌های رگرسیونی به دست‌آمده برای هر شاخص، نقشه‌های پهنه‌بندی آن‌ها برای استان تهیه گردید (مسگری و همکاران، ۱۳۹۹).

به طور کلی یخ‌بندان‌ها تأثیرات زیادی بر فعالیت‌های عمرانی و کشاورزی به ویژه محصولات باگی دارند؛ از سوی دیگر تغییر اقلیم نیز سبب تغییر در مؤلفه‌های اقلیمی شده و اثر خود را به صورت تغییر طول دوره یخ‌بندان، تغییر در تاریخ آغاز و خاتمه آن، تغییر شدت یخ‌بندان‌های به وقوع پیوسته و تغییر در تداوم آن‌ها نشان می‌دهد (باغی مقدم، ۱۳۹۶). قرارگیری استان همدان در هم‌جواری رشته کوه‌های زاگرس سبب شده است که آب و هوایی غالباً سرد داشته باشد و هر ساله در اثر وقوع یخ‌بندان‌های مداوم و ناگهانی خسارت‌های فراوانی در بخش کشاورزی متتحمل شود. از این‌رو هدف این پژوهش، ارزیابی تغییرات زمانی و مکانی یخ‌بندان‌های استان همدان در افق آینده با استفاده از کارایی مدل LARS-WG است تا این طریق بتوان میزان خسارت و صدمات ناشی از یخ‌بندان‌های طولانی‌مدت در این منطقه را به حداقل رساند.

داده‌ها و روش کار

موقعیت جغرافیایی منطقه

استان همدان با مساحت ۲۰۱۷۲ کیلومتر مربع، بین مدارهای ۳۳ درجه و ۵۸ دقیقه و ۴۴ ثانیه تا ۳۵ درجه و ۴۴ دقیقه و ۳۷ ثانیه عرض شمالی و ۴۷ درجه و ۴۵ دقیقه و ۳۸ ثانیه تا ۴۹ درجه و ۲۹ دقیقه و ۳۰ ثانیه طول شرقی از نصف النهار گرینویچ، در غرب ایران قرار گرفته است (شکل ۱). این استان به دلیل دوری از دریا و نفوذ جریان‌های پرفسنر سرد شمالی و غربی، دارای آب‌وهوای سرد کوهستانی در بخش‌های شمالی و مرتفع و اقلیم معتدل کوهستانی در مناطق جنوبی می‌باشد. میانگین بیشینه دما در این استان ۳۶/۸ درجه سانتی‌گراد و کمینه دما، برابر با ۶- است. میزان بارش سالانه استان، بیش از ۳۰۰ میلی‌متر و با داشتن ۱۴۳ روز یخ‌بندان، یکی از استان‌های سرد کشور است (اداره کل هواشناسی استان همدان، ۱۴۰۲).



شکل ۱. موقعیت جغرافیایی استان همدان

داده‌ها و روش‌شناسی

این پژوهش به منظور آشکارسازی تغییرات زمانی- مکانی وقوع یخندهان در شرایط فعلی و آینده استان از آمار روزانه پارامترهای اقلیمی در چهار ایستگاههای هواشناسی استان همدان که دارای دوره مشترک آماری از سال ۱۹۹۰-۲۰۲۰ بودند، استفاده شد. این ایستگاهها شامل همدان، نوژه، ملایر و نهادوند هستند. لازم به ذکر است که با توجه به تعداد کم ایستگاه با بازه زمانی مناسب جهت پنهان‌بندی یخندهان در این استان از ایستگاههای مجاور (قروه، کنگاور و آوج) نیز استفاده شد. براساس تقویم میلادی تاریخ وقوع آغاز و خاتمه یخندهان، طول دوره یخندهان، فراوانی وقوع و طول دوره رشد یا عاری از یخندهان در دوره آماری مورد بررسی (۱۹۹۶-۲۰۲۰) برای هر یک از ایستگاههای مطالعاتی استخراج شد. سپس با استفاده از مدل LARS-WG به بررسی تغییرات رخداد یخندهان در دوره آینده نسبت به دوره پایه پرداخته شد. در این راستا مراحل زیر صورت گرفت:

- **صحت داده‌ها و کنترل کیفیت آن‌ها:** ابتدا به منظور صحت و همگنی داده‌ها آزمون ران تست انجام شد. این آزمون روی داده‌های موجود انجام و همگنی داده‌ها در کلیه نقاط در سطح اعتماد ۵ درصد مشخص شد.
- **آزمون روند:** برای بررسی تغییرات تاریخ‌های آغاز و پایان وقوع یخندهان، فراوانی و طول دوره آن از آزمون روند منکندها و شیب سنس استیمتور استفاده شد (مصطفی‌زاده و مهری، ۱۳۹۷).
- **پیش‌نگری تغییرات یخندهان:** جهت ارزیابی تغییرات رخداد یخندهان در دهه‌های آتی ابتدا دمای حداقل روزانه منطقه برای بازه زمانی ۲۰۲۱-۲۰۵۰ پیش‌نگری شد. برای این کار از خروجی مدل سه بعدی جفت شده گردش کلی جو یعنی CanESM2 تحت سه سناریوی RCP4.5.RCP2.6 و RCP8.5 استفاده شد. با توجه به بزرگ بودن سلول‌های محاسباتی مدل‌های گردش کلی جو خروجی آن‌ها باید با یکی از روش‌های آماری یا دینامیکی ریزمقیاس گردند که در این پژوهش از مدل LARS-WG برای این امر استفاده شد. برای ارزیابی داده‌های مشاهداتی و تولید شده از معیارهای خطاسنجی استفاده گردید. معیارهای فوق از روایط زیر بدست می‌آید:

$$RMSE = \sqrt{\frac{\sum_{i=1}^n (o_i - e_i)^2}{n}} \quad \text{رابطه (1)}$$

$$MSE = \frac{\sum_{i=1}^n (o_i - e_i)}{n} \quad \text{رابطه (2)}$$

$$MAE = \frac{\sum_{i=1}^n |o_i - e_i|}{n} \quad \text{رابطه (3)}$$

در روابط فوق o_i و e_i به ترتیب مقادیر مشاهده شده در ایستگاه و مقادیر برآورد شده توسط مدل در زمان i می‌باشد و n میانگین کل داده‌های o_i و e_i در جامعه‌ی آماری و n تعداد مشاهدات است.

تحلیل مکانی: برای بررسی تغییرات مکانی ویژگی‌های یخندهان استان در شرایط فعلی و افق آینده از روش IDW در محیط نرم‌افزار ARC GIS استفاده شد (حسینی و کاشکی، ۱۴۰۰).

بحث و نتایج

توزیع مکانی یخبدان در استان همدان

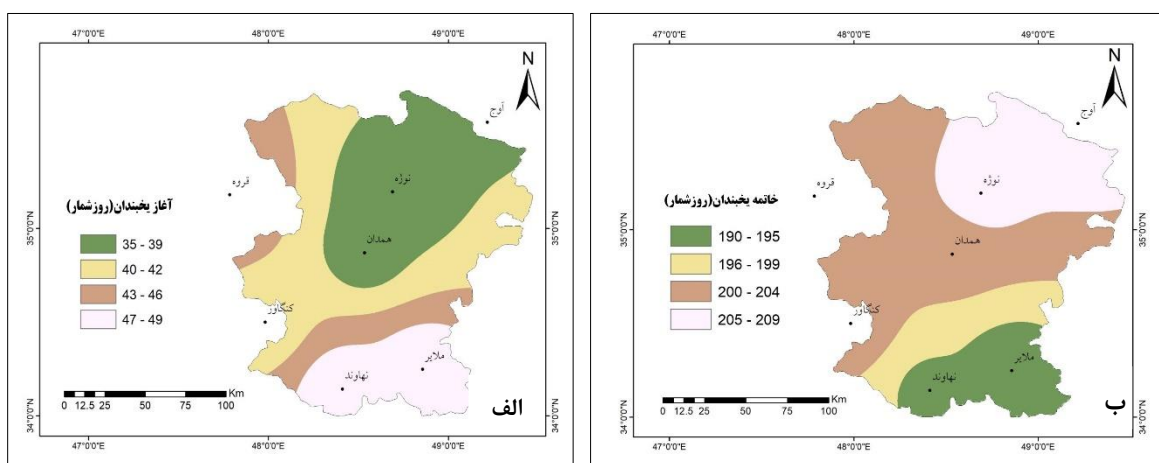
جدول ۱ تاریخ وقوع اولین و آخرین یخبدان استان را برای دوره ۱۹۹۰-۲۰۲۰ نشان می‌دهد. زودترین تاریخ یخبدان مربوط به ایستگاه‌های نوژه و همدان است که به ترتیب در روزهای ۵ و ۶ آبان ماه رخ می‌دهد. دیرترین زمان خاتمه یخبدان نیز مربوط به ایستگاه آوج (۲۹ فروردین) است. بر این اساس، یخبدان در استان همدان معمولاً از ۵ آبان شروع و تا ۲۹ فروردین ادامه دارد.

جدول ۱. تاریخ وقوع اولین و آخرین یخبدان در منطقه مورد مطالعه در بازه زمانی ۱۹۹۰-۲۰۲۰

ردیف	نام ایستگاه	اولین یخبدان	روزشمار	آخرین یخبدان	روزشمار
۱	آوج	۸ آبان	۳۸	۲۹ فروردین	۲۰۹
۲	همدان	۶ آبان	۳۶	۲۱ فروردین	۲۰۱
۳	نوژه	۵ آبان	۳۵	۲۷ فروردین	۲۰۷
۴	کنگاور	۹ آبان	۳۹	۲۳ فروردین	۲۰۴
۵	ملایر	۱۹ آبان	۴۹	۱۰ فروردین	۲۱۰
۶	نهاوند	۱۹ آبان	۴۹	۱۳ فروردین	۲۱۳
۷	قروه	۱۸ آبان	۴۸	۱۹ فروردین	۲۱۹

بررسی توزیع مکانی آغاز یخبدان نشان می‌دهد که توزیع مکان آن کم و بیش از وضعیت توپوگرافی منطقه تبعیت می‌کند، به‌طوری که یخبدان در نواحی شمال شرقی منطقه زودتر آغاز می‌شود. همان‌طور که در شکل ۲ (الف) ملاحظه می‌شود، تاریخ آغاز یخبدان در این نواحی بین ۵ آبان تا ۱۲ آبان می‌باشد. با توجه به نتایج بدست آمده در بخش‌های زیادی از نواحی مرکزی نیز یخبدان در این تاریخ‌ها شروع می‌شود که دلیل آن ارتفاع زیاد این مناطق و قرار گرفتن آن‌ها در نواحی کوهستانی می‌باشد. همچنین نواحی جنوبی استان مانند نهاوند و ملایر آخرین مناطقی هستند که یخبدان را در فصل پاییز تجربه می‌کنند. در مجموع در پهنه استان یخبدان‌های زودرس پاییزه از ۵ آبان تا ۱۹ آبان شروع می‌شود.

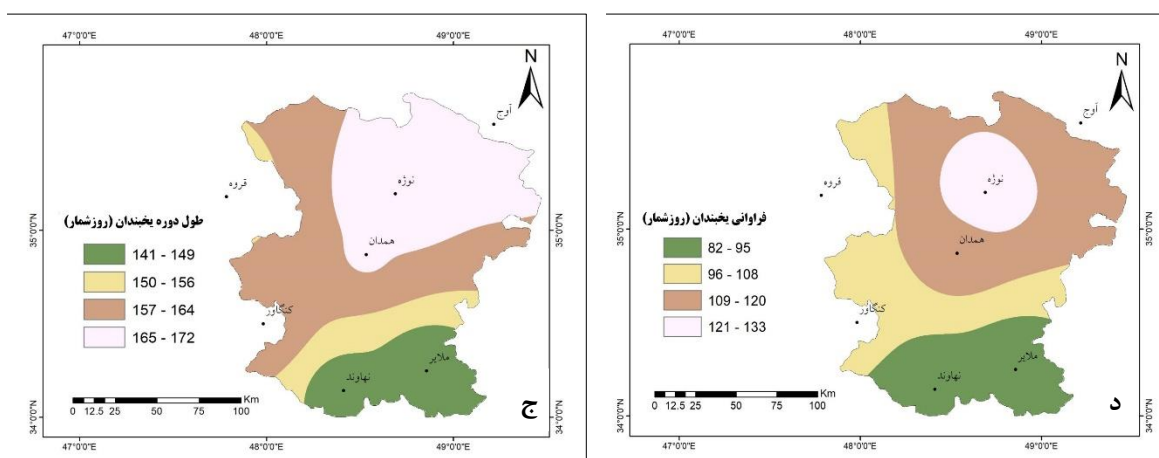
شکل ۲ (ب) توزیع تغییرات مکانی زمان خاتمه یخبدان را در استان نشان می‌دهد. بر اساس نتایج، یخبدان به جز نواحی شمال شرقی استان در سایر نواحی اوایل بهار خاتمه می‌یابد (تا ۱۳ فروردین). آخرین منطقه‌ای که در آن یخبدان خاتمه می‌یابد ایستگاه‌های واقع در نواحی شمالی و شمال شرقی منطقه می‌باشد که تا ۲۹ فروردین ادامه می‌یابد. در مجاورت نواحی مرتفع و کوهستانی شمال و شمال شرقی استان دشت‌های وسیع نیز قرار دارد که در مسیر بادهای شدید است و توده‌های هوای سرد به راحتی این نواحی را تحت تأثیر قرار می‌دهد.



شکل ۲. میانگین توزیع مکانی آغاز و خاتمه یخندان در منطقه مورد مطالعه بر حسب روزشمار (از ۱۹۹۰ تا ۲۰۲۰)

تغییرات مکانی طول دوره یخندان نیز نشان می‌دهد که نواحی شمال شرقی و شمالی استان از بیشترین طول دوره یخندان برخوردارند که بین ۱۵۷ تا ۱۷۲ روز است به عبارتی؛ یخندان در این نواحی زودتر آغاز می‌شود و دیرتر نیز خاتمه می‌یابد. در نتیجه، طول دوره یخندان بیشتر خواهد. کمترین طول دوره یخندان نیز مربوط به نواحی جنوبی و جنوب شرقی استان است که بین ۱۴۱ تا ۱۵۰ روز است (شکل ۳ ج).

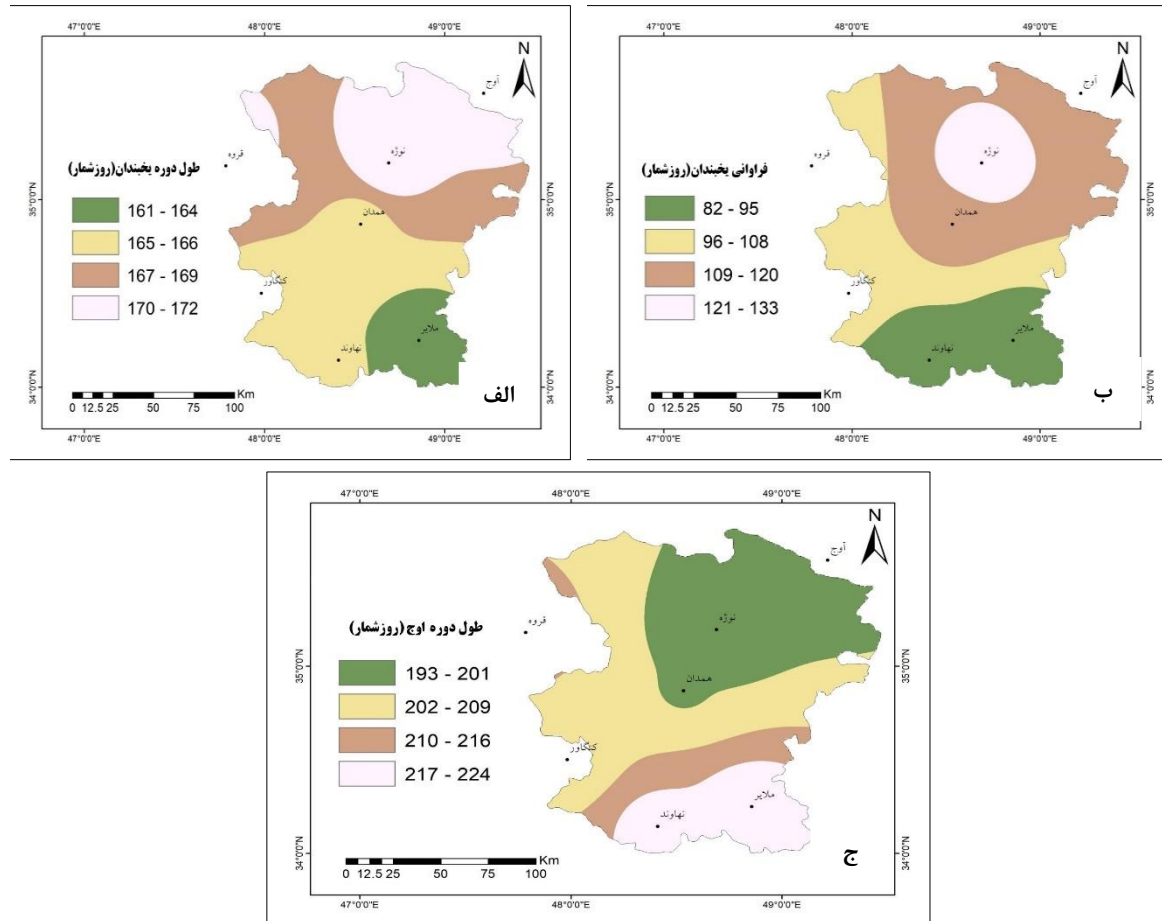
شکل ۳ (د) تغییرات مکانی فراوانی یخندان را در دوره مشاهده نشان می‌دهد. همانطور که مشاهده می‌شود فراوانی رخداد یخندان نیز تا حدودی از وضعیت ارتفاعی منطقه تعیین می‌کند. به طوری که، نواحی شمال شرقی و شمالی استان از بیشترین فراوانی یخندان برخوردارند که به میزان ۱۲۰ تا ۱۳۳ روز در سال می‌رسد. کمترین فراوانی نیز مربوط به نواحی جنوب شرقی استان است که بین ۸۲ تا ۹۵ روز در سال است که از وضعیت توپوگرافی و اقلیمی استان پیروی می‌کند. در واقع این منطقه نسبت به مناطق شمالی تر از نظر دمایی زمستان‌های ملایم‌تر دارند. به طور کلی، مناطق شمال و مرتفع استان آب و هوای سرد کوهستانی دارد و مناطق جنوبی آن (ملایر و نهاوند) دارای آب و هوای معتدل کوهستانی است.



شکل ۳. میانگین تغییرات مکانی فراوانی و قوع و طول دوره یخندان در منطقه یخندان بر حسب روز در بازه ۱۹۹۰ تا ۲۰۲۰

توزیع زمانی یخ‌بندان در استان همدان در دوره پایه (از ۱۹۹۰ تا ۲۰۲۰)

بر اساس نتایج بدست آمده، طول دوره یخ‌بندان در استان همدان بین ۱۶۱ تا ۱۷۲ روز در سال متغیر است که طولانی‌ترین آن مربوط به نواحی شمال شرقی استان (ایستگاه نوژه با ۱۷۲ روز) و کوتاه‌ترین دوره یخ‌بندان مربوط به نواحی جنوب شرقی و ایستگاه ملایر (با ۱۶۱ روز در سال) می‌باشد. بیشترین و کمترین فراوانی وقوع یخ‌بندان نیز به ترتیب مربوط به ایستگاه‌های نوژه با ۱۳۳ روز و ملایر با ۸۲ روز در سال است. به این ترتیب با توجه به طول دوره یخ‌بندان، کوتاه‌ترین و طولانی‌ترین دوره اوج یخ‌بندان نیز به ایستگاه‌های مذکور اختصاص می‌یابد (شکل ۴ الف، ب و ج).



شکل ۴. میانگین طول دوره، فراوانی وقوع و دوره اوج یخ‌بندان در ایستگاه‌های استان در بازه ۱۹۹۰ تا ۲۰۲۰

روندهای تغییرات زمانی آغاز، خاتمه، فراوانی و طول دوره یخ‌بندان بر اساس آزمون من-کنداشیب سن

نتایج به دست آمده از اعمال آزمون من-کنداشیب سن بر روی داده‌های زمان آغاز یخ‌بندان در ایستگاه‌های مورد مطالعه در طول دوره آماری مورد بررسی نشان می‌دهد که زمان شروع یخ‌بندان به غیر از ایستگاه‌های آوج، همدان و نهادوند دارای روند افزایشی است که این روند افزایشی فقط در ایستگاه قروه در سطح اطمینان ۹۵ درصد معنی‌دار شده است (جدول ۲). اما روند کاهشی در هیچ‌کدام از ایستگاه‌ها مورد مطالعه معنی‌دار نیست و از نوع نوسانات کوتاه‌مدت آب و هوایی است. نتایج

حاصل از شب سن نیز حاکی از روند کاهشی آغاز یخبدان در ایستگاه‌های آوج و همدان است. بیشترین افزایش و کاهش شب تغییرات نیز به ترتیب مربوط به ایستگاه‌های نوژه با شب سن برابر با ۰/۶۸ و آوج با شب سن برابر با ۰/۰۷- می‌باشد. در مجموع بر اساس نتایج حاصل از بررسی زمان شروع یخبدان در طی دوره‌ی آماری مورد مطالعه، زمان شروع یخبدان در بیشتر ایستگاه‌های مورد مطالعه افزایش یافته است و بیانگر آن است که زمان شروع یخبدان دیرتر اتفاق خواهد افتاد.

جدول ۲. روند تغییرات زمانی آغاز یخبدان در طول دوره آماری مورد بررسی

ردیف	نام ایستگاه	آماره من کندال	شب سن	نوع روند
۱	آوج	-۰/۱۷	-۰/۰۷	کاهشی
۲	همدان	-۰/۳۸	-۰/۰۲	کاهشی
۳	نوژه	۱/۸۹	۰/۶۸	افزایشی
۴	کنگاور	۰/۳	۰/۱۲	افزایشی
۵	ملایر	۰/۵۶	۰/۱	افزایشی
۶	نهاوند	-۰/۰۵	۰/۰۰	کاهشی
۷	قروه	۱/۹۹*	۰/۵۷	افزایشی

* همبستگی معنادار در سطح ۵ درصد

نتایج حاصل از آزمون من-کندال و شب سن بر روی داده‌های زمان خاتمه یخبدان نیز نشان می‌دهد که زمان خاتمه یخبدان در سطح منطقه در ایستگاه‌های آوج، همدان، ملایر و نهادن دارای روند افزایشی است و در سایر ایستگاه‌ها روند کاهشی است (جدول ۳). در بین ایستگاه‌های دارای روند افزایشی نیز فقط ایستگاه همدان با آماره من کندال ۲/۲ در سطح اطمینان ۹۵ درصد معنی‌دار شده است و در سایر ایستگاه‌ها از نوع نوسانات کوتاه‌مدت آب و هوایی است. روند کاهشی زمان خاتمه یخبدان نیز در هیچ‌کدام از ایستگاه‌های مورد مطالعه معنی‌دار نشده است. نتایج حاصل از شب سن نیز روند کاهشی و افزایشی ایستگاه‌های مذکور را به خوبی نشان می‌دهد. بیشترین افزایش و کاهش شب تغییرات زمان خاتمه یخبدان نیز به ترتیب مربوط به ایستگاه‌های همدان با شب سن برابر با ۰/۶ و نوژه با شب سن برابر با ۰/۸۳- می‌باشد. بر اساس نتایج حاصل و با توجه به اینکه روند کاهشی زمان خاتمه یخبدان در ایستگاه‌های دارای روند کاهشی از نوع نوسانات کوتاه‌مدت آب و هوایی است می‌وان اظهار داشت که زمان خاتمه یخبدان در سطح منطقه کاهش یافته است و بیانگر آن است که زمان خاتمه یخبدان در سطح منطقه زودتر رخ خواهد داد و به سمت اواخر زمستان کشیده شده است که ناشی نوسانات دمایی به ویژه افزایش دما در منطقه مورد مطالعه می‌باشد.

جدول ۳. روند تغییرات زمانی خاتمه یخبدان در طول دوره آماری مورد بررسی

ردیف	نام ایستگاه	آماره من کندال	شب سن	نوع روند
۱	آوج	۰/۷۲	۰/۲۵	افزایشی

افزایشی	۰/۶	۲/۲۲*	همدان	۲
کاهشی	-۰/۸۳	-۱/۱۶	نوزه	۳
کاهشی	-۰/۱۳	-۰/۲۶	کنگاور	۴
افزایشی	۰/۱	۰/۴	ملایر	۵
افزایشی	۰/۵	۱/۶۲	نهاوند	۶
کاهشی	-۰/۰۵	-۰/۱۹	قروه	۷

روند تغییرات زمانی فراوانی و طول دوره یخبدان بر اساس آزمون من کندال و شیب سن

نتایج حاصل از آزمون من-کندال و شیب سن بر روی داده‌های فراوانی و طول دوره یخبدان نشان داد که فراوانی یخبدان در اکثر ایستگاه‌های دارای روند کاهشی است که این روند در ایستگاه همدان با آماره من کندال ۲/۲ در سطح اطمینان ۹۵ درصد و در ایستگاه قروه با آماره من کندال برابر با ۳/۴ در سطح اطمینان ۹۹ درصد معنی دار شده است و در سایر ایستگاه‌ها از نوع نوسانات کوتاه‌مدت آب و هوایی است (جدول ۴). روند افزایشی فراوانی یخبدان نیز در هیچ‌کدام از ایستگاه‌های مورد مطالعه معنی‌دار نشده است. نتایج حاصل از طول دوره یخبدان نیز روند کاهشی در ایستگاه‌های نوزه، کنگاور و قروه و روند افزایشی در سایر ایستگاه‌ها را نشان می‌دهد. روند کاهشی مذکور فقط در ایستگاه نوزه با آماره من کندال ۲/۲ و شیب سن برابر با ۱/۷ در سطح اطمینان ۹۵ درصد معنی‌دار شده است و روندهای کاهشی و افزایشی در سایر ایستگاه از نوع نوسانات کوتاه‌مدت آب و هوایی است. بر این اساس در بیشتر مناطق استان طول دوره یخبدان و همچنین فراوانی یخبدان کاهش یافته است که ناشی از افزایش دما در سال‌های اخیر و اثرات تغییرات اقلیمی در استان مورد مطالعه است.

جدول ۴- روند تغییرات زمانی فراوانی و طول دوره یخبدان در طول دوره آماری مورد بررسی

ردیف	نام ایستگاه	آماره من کندال				شیب سن
		طول دوره	فرابانی	طول دوره	فرابانی	
۱	آوج	۰/۱	۰/۰۰	۰/۲۵	۰/۰۰	
۲	همدان	۰/۷۲	۰/۵	۱/۷۵	-۲/۲۳*	
۳	نوزه	-۱/۷	۰/۴	-۲/۲۴	۱/۱۸*	
۴	کنگاور	-۰/۲۱	-۰/۵	-۰/۵۱	-۱/۶۱	
۵	ملایر	۰/۲۱	-۰/۴	۰/۴۲	-۱/۱۵	
۶	نهاوند	۰/۶	۰/۱۲	۱/۳۱	۰/۳۵	
۷	قروه	-۰/۸۸	-۱/۳۶	-۱/۷۱	-۳/۴*	

* همبستگی معنادار در سطح ۵ درصد

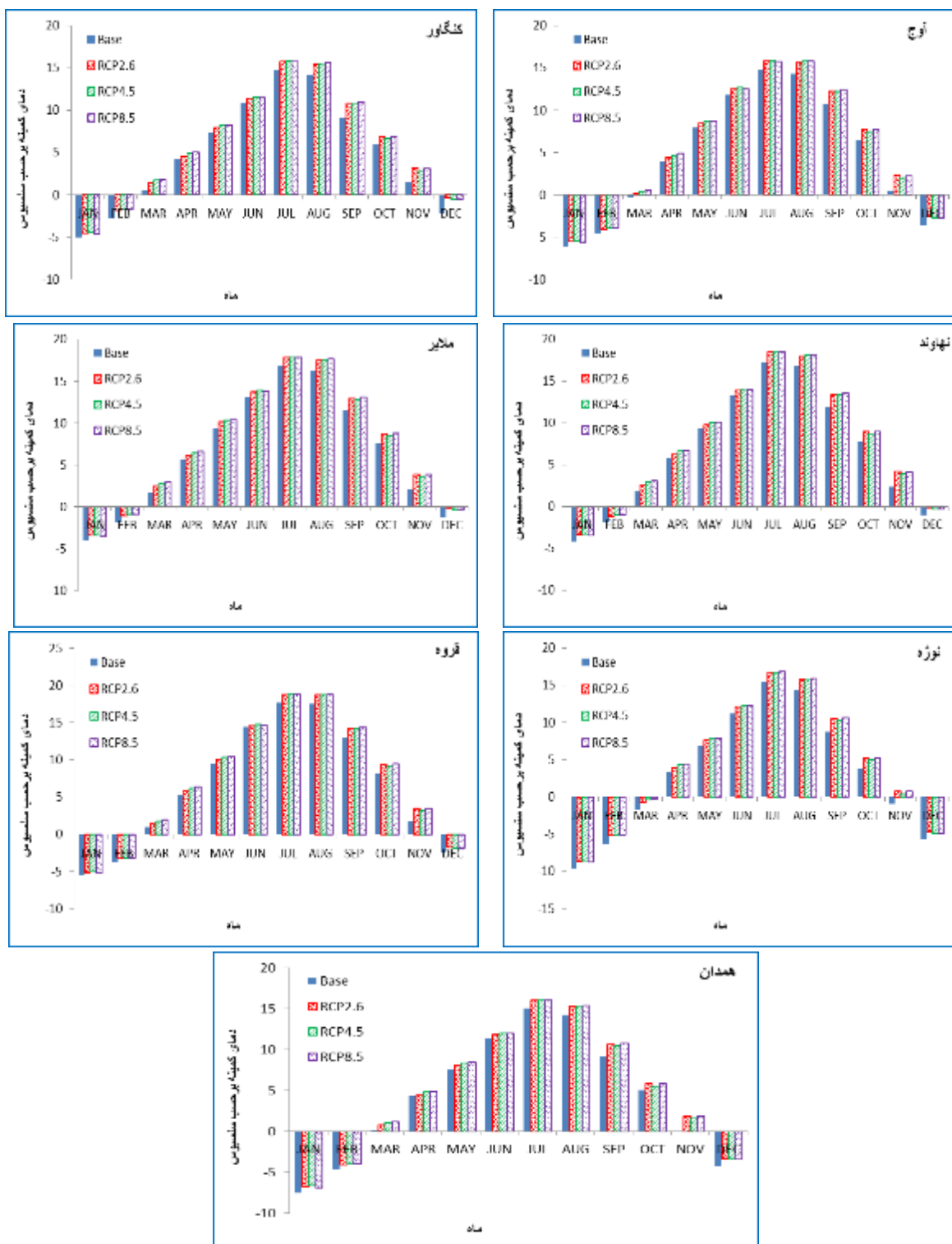
پیش‌نگری تغییرات اقلیمی یخبندان در دوره آینده (از ۲۰۲۱ تا ۲۰۵۰)

به منظور بررسی و تحلیل وضعیت یخبندان در دهه‌های آتی، پس از ارزیابی دقت مدل CanESM2، متغیر دمای کمینه برای بازه زمانی (۲۰۲۱-۲۰۵۰) تحت سه سناریو ۲.۶ RCP4.5.RCP2.6 و ۸.۵ RCP8.۵ پیش‌بینی شد. دقت مدل مذکور با استفاده از سه شاخص خطاسنجی (MAE، RMSE و MSE) انجام گرفت؛ بررسی شاخص‌های فوق بیانگر آن است که مدل ریزمقیاس‌گردانی LARS-WG از کارآیی مناسبی جهت ریزمقیاس‌گردانی پارامتر دمای کمینه در منطقه مورد مطالعه برخوردار است. بر اساس نتایج حاصل دقت مدل در ایستگاه‌های مختلف متفاوت است. به طوری که بیشترین خطای مدل در شبیه‌سازی دمای کمینه مربوط به ایستگاه قروه با RMSE برابر با ۰/۴۲ و کمترین خطای نیز مربوط به ایستگاه نهاآوند با RMSE برابر با ۰/۲۵ می‌باشد (جدول ۵). در مجموع نتایج نشان می‌دهد مدل در ایستگاه‌های با دامنه تغییرات دمایی کم از دقت مناسب‌تری نسبت به ایستگاه‌های با دامنه تغییرات زیاد دمایی برخوردار است.

جدول ۵. ارزیابی عملکرد مدل ریزمقیاس‌گردانی LARS-WG در شبیه‌سازی دمای کمینه

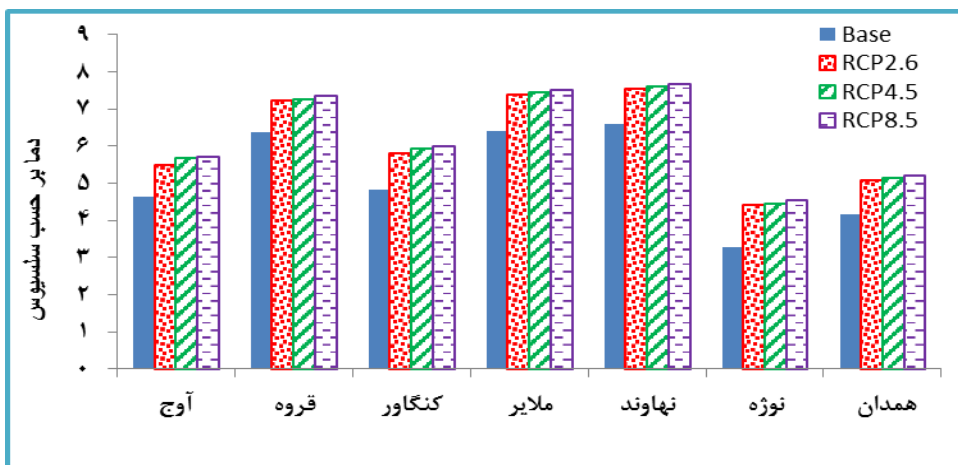
R ²	MAE	RMSE	MSE	ایستگاه	ردیف
۰/۹۹	۰/۲۱	۰/۲۶	۰/۰۷	آوج	۱
۰/۹۹	۰/۲۶	۰/۳۸	۰/۱۴	همدان	۲
۰/۹۹	۰/۲۲	۰/۲۶	۰/۰۷	کنگاور	۳
۰/۹۹	۰/۱۹	۰/۲۷	۰/۰۷	ملایر	۴
۰/۹۹	۰/۲۱	۰/۲۵	۰/۰۶	نهاآوند	۵
۰/۹۹	۰/۲۱	۰/۲۹	۰/۰۹	نوژه	۶
۰/۹۹	۰/۳	۰/۴۲	۰/۱۷	قروه	۷

پس از ارزیابی توانایی مدل، پارامتر حداقل دما برای دوره (۲۰۲۱-۲۰۵۰) تولید شد. نتایج حاصل از بررسی ماهانه دمای کمینه در ایستگاه‌های مطالعاتی نشان داد که دمای کمینه در دوره مذکور در همه ایستگاه‌های مورد مطالعه بر طبق هر سه سناریوی مورد بررسی در همه ماه‌های سال نسبت به دوره پایه افزایش خواهد داشت. بیشترین تغییرات دمای کمینه بر اساس سناریوی RCP 8.5 در ماه‌های گرم سال برآورد شده است (شکل ۵). دلیل برآورد بیشترین تغییرات بر اساس سناریوی ۸.۵ ناشی از ویژگی‌هایی است که این سناریو به نمایش می‌گذارد و نسبت به سایر سناریوها حالت بدینانه‌تری دارد.



شکل ۵. وضعیت ماهانه دمای کمینه در دوره آینده نسبت به دوره پایه بر اساس سناریوهای مختلف

بر طبق نتایج حاصل از پیش‌نگری دمای کمینه به صورت متوسط بلندمدت و بر اساس هر سه سناریوی مورد بررسی میزان دمای کمینه در استان همدان نسبت به دوره پایه افزایش خواهد یافت. متوسط دمای کمینه استان بر اساس ایستگاه‌های مطالعاتی برابر با $5/2$ درجه سلسیوس است که این مقدار در دوره آینده بر اساس سناریوهای مورد بررسی یعنی RCP2.6، RCP4.5 و RCP8.5 به ترتیب به $6/2$ ، $6/3$ درجه سلسیوس خواهد رسید. در بین ایستگاه‌های مطالعاتی نیز بیشترین تغییرات مربوط به ایستگاه نوژه با افزایش $1/3$ درجه سلسیوس و بر اساس سناریوی RCP8.5 است. کمترین تغییرات نیز مربوط به ایستگاه قروه و همدان با $0/0$ درجه سلسیوس و بر اساس سناریوی RCP2.6 است (شکل ۶). بر اساس نتایج دمای کمینه در دوره آینده به طور متوسط بین $0/9$ تا $1/3$ درجه سلسیوس در استان همدان افزایش خواهد یافت.



شکل ۶. متوسط بلندمدت دمای کمینه در دوره آینده نسبت به دوره پایه بر اساس سناریوهای مختلف

توزیع فضایی آغاز و خاتمه یخبدان در دوره آینده (از ۲۰۲۱ تا ۲۰۵۰)

نتایج حاصل از بررسی آغاز یخبدان در دوره $(2021-2050)$ نشان داد که اولین یخبدان در استان همدان در دوره آینده از 28 مهر (ایستگاه همدان) شروع می‌شود و تا 18 آبان ماه (ایستگاه ملایر) ادامه دارد. البته بر اساس سناریوی RCP4.5 یخبدان‌ها در استان همدان زودتر از این تاریخ‌ها هم شروع خواهد شد (جدول ۷). در مجموع بر اساس توزیع فضایی آغاز یخبدان در دوره آینده، یخبدان در نواحی شمال شرقی و شمالی استان زودتر از سایر مناطق استان شروع می‌شود و در نواحی جنوبی استان یخبدان دیرتر شروع خواهد شد (شکل ۷‌الف).

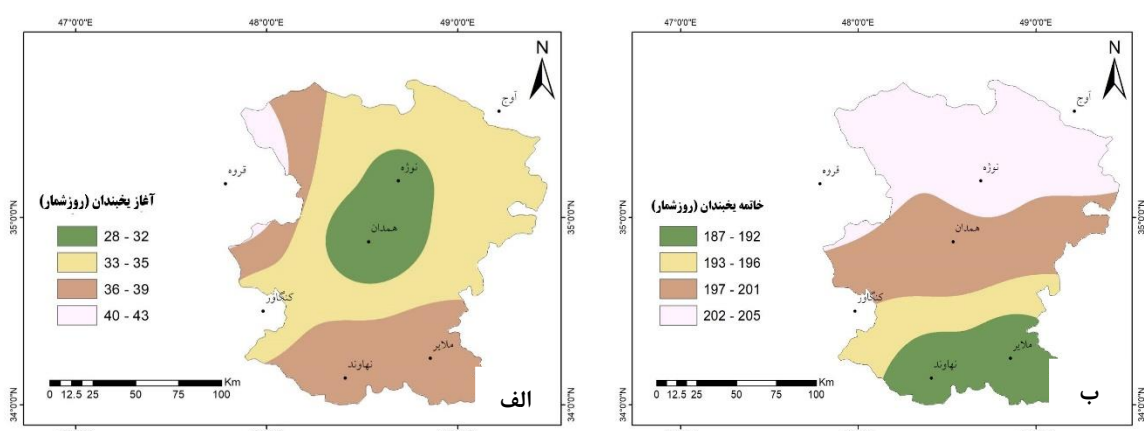
جدول ۷ تاریخ رخداد آخرین یخبدان در دوره آینده را نشان می‌دهد همانطور که مشاهده می‌شود در سطح استان یخبدان‌های دیررس بهاره تا 24 فروردین نیز ادامه خواهد داشت و توزیع آن به طور کلی در استان از 8 تا 24 فروردین خواهد بود و بر اساس سناریوی RCP 2.6 تاریخ رخداد یخبدان‌های دیررس تا 26 فروردین نیز ادامه خواهد داشت. زودترین و دیرترین زمان خاتمه یخبدان به طور متوسط سناریوهای مورد بررسی مربوط به ایستگاه ملایر و نهادوند (8 فروردین) و ایستگاه آوج (24 فروردین) است. بر این اساس یخبدان در نواحی شمال استان دیرتر و در نواحی جنوبی زودتر خاتمه می‌یابد (شکل ۷ ب). به این ترتیب یخبدان به پیروی از تغییرات داده‌های دمای کمینه پیش‌نگری شده در نواحی شمالی استان زودتر شروع و دیرتر خاتمه می‌یابد.

جدول ۶. تاریخ رخداد اولین یخ‌بندان در ایستگاه‌های مورد مطالعه در دوره آینده بر اساس سناریوهای مختلف

ردیف	نام ایستگاه	RCP2.6	RCP4.5	RCP8.5	مت渥سط
۱	آوج	۴ آبان	۳ آبان	۴ آبان	۴ آبان
۲	همدان	۲۹ مهر	۲۸ مهر	۳۰ مهر	۲۸ مهر
۳	نوژه	۱ آبان	۳۰ مهر	۱ آبان	۱ آبان
۴	کنگاور	۵ آبان	۳ آبان	۶ آبان	۴ آبان
۵	ملایر	۱۹ آبان	۱۷ آبان	۱۸ آبان	۱۸ آبان
۶	نهاوند	۱۹ آبان	۱۵ آبان	۱۸ آبان	۱۷ آبان
۷	قروه	۱۵ آبان	۱۳ آبان	۱۳ آبان	۱۳ آبان

جدول ۷. تاریخ رخداد آخرین یخ‌بندان در ایستگاه‌های مورد مطالعه در دوره آینده بر اساس سناریوهای مختلف

ردیف	نام ایستگاه	RCP2.6	RCP4.5	RCP8.5	مت渥سط
۱	آوج	۲۶ فروردین	۲۴ فروردین	۲۳ فروردین	۲۴ فروردین
۲	همدان	۲۱ فروردین	۲۰ فروردین	۲۰ فروردین	۲۰ فروردین
۳	نوژه	۲۴ فروردین	۲۲ فروردین	۲۳ فروردین	۲۲ فروردین
۴	کنگاور	۱۹ فروردین	۱۵ فروردین	۱۳ فروردین	۱۶ فروردین
۵	ملایر	۹ فروردین	۷ فروردین	۸ فروردین	۸ فروردین
۶	نهاوند	۱۰ فروردین	۸ فروردین	۷ فروردین	۸ فروردین
۷	قروه	۱۶ فروردین	۱۴ فروردین	۱۳ فروردین	۱۴ فروردین

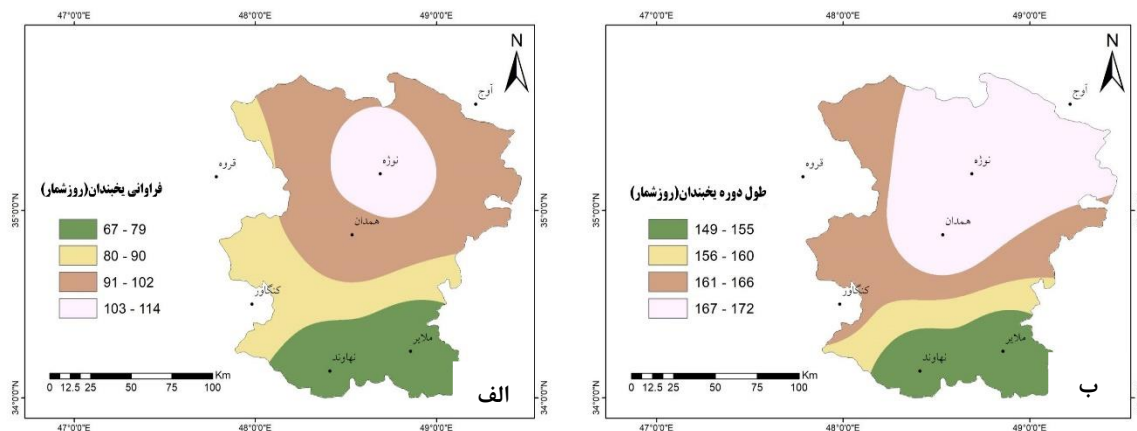


شکل ۷. میانگین توزیع فضایی آغاز و خاتمه یخ‌بندان در استان همدان در دوره آینده (از ۲۰۲۱ تا ۲۰۵۰) بر اساس سناریوها

توزیع فضایی فراوانی و طول دوره یخبندان در دوره آینده

توزیع فراوانی در دوره آینده نشان می‌دهد که فراوانی یخبندان در استان همدان به طور متوسط بین ۶۷ تا ۱۱۴ روز در سال خواهد بود که بیشترین و کمترین میزان آن به ترتیب مربوط به نواحی شمالی و جنوبی استان است به این ترتیب با حرکت از شمال به جنوب استان از فراوانی یخبندان کاسته می‌شود (شکل ۸ الف).

طول دوره یخبندان نیز در استان همدان بین ۱۴۹ تا ۱۷۲ روز در سال در تغییر است که کمترین و بیشترین میزان آن به تبعیت از آغاز و خاتمه یخبندان به ترتیب مربوط به نواحی جنوبی و شمالی استان است و بیشترین میزان آن مربوط به ایستگاه شهید نوژه با ۱۷۲ روز در سال است (شکل ۸ ب).

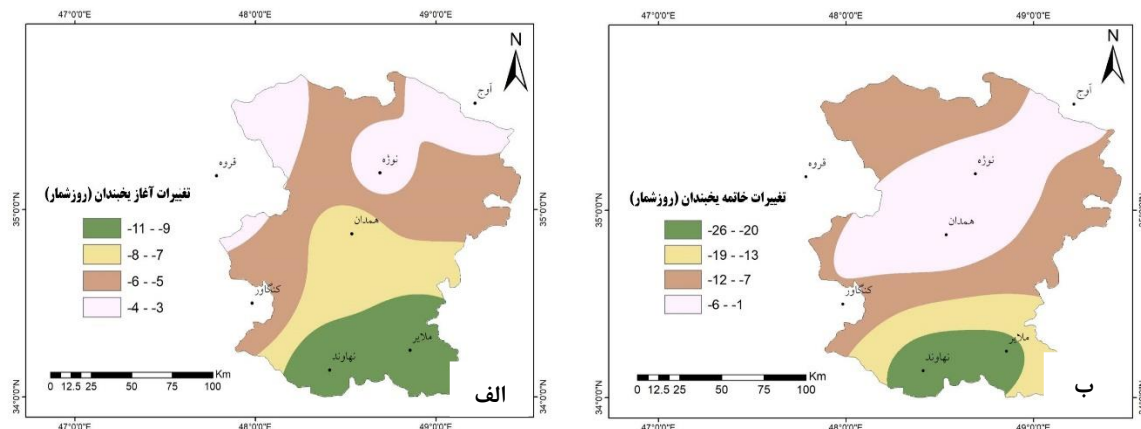


شکل ۸. میانگین توزیع فضایی طول دوره و فراوانی یخبندان در استان همدان در دوره آینده (از ۲۰۵۰ تا ۲۰۲۱) بر اساس سناریوهای

توزیع تغییرات یخبندان در دوره آینده نسبت به دوره پایه

تغییرات آغاز و خاتمه یخبندان

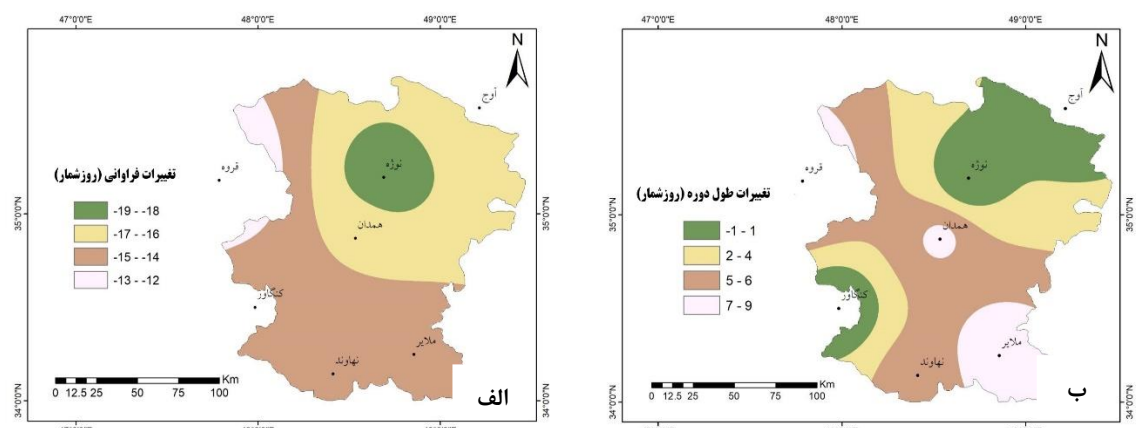
نتایج حاصل از بررسی تغییرات آغاز یخبندان در دهه آینده نسبت به دوره پایه و درونیابی آن بر اساس روش IDW در استان همدان نشان داد که در همه ایستگاه‌های مورد مطالعه آغاز یخبندان کاهش خواهد یافت که این کاهش در سطح استان بین ۳ تا ۱۱ روز خواهد بود که بیانگر آن است یخبندان در دوره آینده زودتر اتفاق خواهد افتاد. بر اساس نتایج بیشترین و کمترین میزان تغییرات آغاز یخبندان به ترتیب مربوط نواحی جنوبی و شمالی استان است یعنی تغییرات در نواحی جنوبی استان که در دوره پایه یخبندان دیرتر آغاز شده شدیدتر از نواحی شمالی استان که یخبندان زودتر شروع می‌شود، است (شکل ۹ الف). بررسی تغییرات خاتمه یخبندان نیز نشان می‌دهد که در دوره آینده یخبندان در سطح استان بین ۱ تا ۲۶ روز زودتر نسبت به دوره پایه به پایان می‌رسد. بیشترین تغییرات مربوط به نواحی جنوبی استان و ایستگاه‌های ملایر و نهاوند و کمترین تغییرات طول دوره مربوط به نواحی شمالی استان و ایستگاه‌های نوژه و همدان است (شکل ۹ ب).



شکل ۹. میانگین توزیع تغییرات آغاز و خاتمه یخ‌بندان در دوره آینده (از ۲۰۲۱ تا ۲۰۵۰) نسبت به دوره پایه (از ۱۹۹۰ تا ۲۰۲۰)

تغییرات فراوانی و طول دوره یخ‌بندان

خروجی حاصل از توزیع تغییرات فراوانی یخ‌بندان در استان همدان در دوره آینده نسبت به دوره پایه نشان می‌دهد که کمترین تغییرات مربوط به جنوب و شمال غرب استان و بیشترین تغییرات مربوط به شمال شرق استان به ویژه در محدوده استان زنجان می‌باشد. بر اساس نتایج به دست آمده بطور متوسط در دوره آینده بین ۱۲ تا ۱۹ روز کاهش فراوانی یخ‌بندان نسبت به دوره پایه در این استان مشاهده می‌شود (شکل ۱۰ الف). نتایج حاصل از پهنگ‌بندی و توزیع تغییرات طول دوره یخ‌بندان نشان می‌دهد که کل منطقه با ۱- تا ۹ روز تغییر در طول دوره یخ‌بندان مواجه خواهد شد که کمترین تغییرات مربوط به شمال شرق و جنوب غرب استان و بیشترین تغییرات مربوط به محدوده شهرستان‌های ملایر و همدان و بطور کلی نواحی جنوب شرقی و مرکزی استان همدان می‌باشد (شکل ۱۰ ب). در مجموع بر اساس نتایج حاصل می‌توان اذعان داشت که طول دوره یخ‌بندان در بیشتر مناطق استان همدان افزایش خواهد یافت. با وجود از میزان فراوانی یخ‌بندان در استان کاسته خواهد شد.



شکل ۱۰. میانگین توزیع تغییرات فراوانی و طول دوره یخ‌بندان در دوره آینده (از ۲۰۲۱ تا ۲۰۵۰) نسبت به دوره پایه (از ۱۹۹۰ تا ۲۰۲۰)

نتیجه‌گیری

این پژوهش تلاشی برای تحلیل تغییرات زمانی- مکانی و پیش‌بینی آینده یخبدان‌های استان همدان بود. در این راستا، از مدل CanESM2 برای پیش‌نگری دمای حداقل روزانه ایستگاه‌های استان استفاده شد. شبیه‌سازی این پارامتر برای دوره ۳۰ ساله (۲۰۵۰-۲۰۲۱) و تحت سه سناریوی اقلیمی شامل RCP2.6، RCP4.5 و RCP8.5 برای ایستگاه‌های منتخب انجام شد. نتایج حاصل از بررسی ماهانه دمای کمینه استان نشان داد که دمای کمینه در دوره آینده در همه ایستگاه‌های مورد مطالعه بر طبق هر سه سناریوی مورد بررسی و در همه ماه‌های سال نسبت به دوره پایه افزایش خواهد داشت. متوسط دمای کمینه استان برابر با $5/2$ درجه سلسیوس است که این مقدار در دهه‌های آتی بر اساس سناریوهای RCP2.6، RCP4.5 و RCP8.5 به ترتیب به $6/2$ ، $6/3$ و $6/2$ درجه سلسیوس خواهد رسید که بیشترین تغییرات مربوط به ایستگاه نوژه و کمترین آن به همدان اختصاص دارد که با خروجی پژوهش کاکشی و همکاران (۱۳۹۷) و باعقیده و همکاران (۱۳۹۶) مطابق است. همچنین توزیع فضایی آغاز و پایان یخبدان در دوره آینده بیانگر آن است که یخبدان در نواحی شمال‌شرقی و شمالی استان زودتر از سایر مناطق استان شروع و دیرتر خاتمه می‌یابد. در حالی که در نواحی جنوبی استان دیرتر شروع و زودتر به پایان می‌رسد که این نتایج با پژوهش جعفری‌گلو و همکاران (۱۳۹۷) و رضائی و عابد (۱۳۸۹) مطابقت دارد. همچنین نتایج حاصل از بررسی فراوانی و طول دوره یخبدان در استان همدان حاکی از این است که بیشترین و کمترین فراوانی و طول دوره یخبدان به ترتیب مربوط به نواحی شمالی و جنوبی استان است. ارزیابی تغییرات آغاز یخبدان در دهه آینده نسبت به دوره پایه نشان داد یخبدان در دوره آینده زودتر اتفاق خواهد افتاد که بیشترین و کمترین میزان تغییرات به ترتیب مربوط نواحی جنوبی و شمالی استان است ولی خاتمه یخبدان در دوره آینده یخبدان در سطح استان بین ۱ تا ۲۶ روز زودتر نسبت به دوره پایه به پایان می‌رسد و با یافته‌های مسگری و همکاران (۱۳۹۹) برای استان کردستان همسو می‌باشد. خروجی حاصل از توزیع تغییرات فراوانی یخبدان در استان همدان در دوره آینده نشان داد که منطقه مورد مطالعه در آینده بین ۱۲ تا ۱۹ روز با کاهش فراوانی یخبدان مواجه خواهد بود که نتیجه حاصل با نتایج کار احمدی و زهرایی (۱۳۹۵) در زاهدان مطابقت دارد. نتایج پژوهش حاضر می‌تواند در برنامه‌ریزی‌های منطقه‌ای، کشاورزی و آمايش سرزمین به کار برد شود. همچنین پیشنهاد می‌شود جهت مدیریت کلان اقلیمی در سطح کشور و اتخاذ سیاست‌های عملیاتی در بهره‌گیری بهینه از منابع کشاورزی، تقویم کشت، نوع کشت و استفاده از انرژی گرمایشی، تغییرات زمانی- مکانی یخبدان و جابجایی فصلی آن برای دیگر استان‌های سردسیر کشور نیز انجام شود.

منابع

- احمدی، محمود و اکبر زهرایی. ۱۳۹۳. شبیه‌سازی اثرات تغییر اقلیم بر یخبدان‌های زاهدان با استفاده از مدل‌های سه بعدی گردش عمومی جو. پژوهش‌های دانش زمین، ۴: ۲۹-۴۴.
- آذرخشی، مریم؛ جلیل فرزادمهر، مهدی اصلاح و حسین صحابی. ۱۳۹۲. بررسی روند تغییرات سالانه و فصلی بارش و پارامترهای دما در مناطق مختلف آب و هوایی ایران. مرتع و آبخیزداری، ۱۶: ۱-۱۶.
- آقاشریعت‌مداری، زهرا؛ جواد بدراوشان و سیده الهه صفائی. ۱۳۹۵. چشم‌انداز زمان و قوع یخبدان‌های زودرس پاییزه و دیررس بهاره تحت شرایط تغییر اقلیم با استفاده از مدل SDSM در چند ایستگاه منتخب در نیمه غربی ایران. نشریه هواشناسی کشاورزی، ۴: ۳۱-۲۲.
- امیدوار، کمال و اقدس اصلاحی. ۱۳۹۳. بررسی و تحلیل تغییرات زمانی- مکانی یخبدان در حوضه زاینده رود. تحقیقات جغرافیایی، ۳: ۱۶۳-۱۴۷.
- امیدوار، کمال؛ رضا ابراهیمی، عباسعلی داداشی روباری و مریم ملک میرزایی. ۱۳۹۴. واکاوی زمانی- مکانی فرین‌های سرد ایران تحت تأثیر گرمایش جهانی بهمنظور کاهش مخاطرات، دانش مخاطره، ۴: ۴۳۷-۴۲۳.
- امیدوار، کمال؛ رضا ابراهیمی، مرضیه جمشیدی مطلق و قاسم لکزانشکور. ۱۳۹۵. دورنمای اثر گرمایش جهانی بر تغییرات مکانی- زمانی یخبدان‌های کشور. مخاطرات محیط طبیعی، ۸: ۱۲۲-۹۷.
- باعقیده، محمد؛ الله عسگری و عبدالرضا کاشکی. ۱۳۹۶. ارزیابی پیامدهای تغییر اقلیم بر روند و ساختار پارامترهای آب و هوایی موثر بر تولید پسته مطالعه موردنی: سبزوار. مطالعات جغرافیایی مناطق خشک، ۲۹: ۳۲-۱۷.
- باخی مقدم، فرزانه. ۱۳۹۶. بررسی تغییرات، پیش‌بینی و پنهان‌بندی دوره‌های یخبدان در غرب کشور با استفاده از داده‌های مدل گردش عمومی جو. پایان‌نامه کارشناسی ارشد، استاد راهنمای: دکتر صفر معروفی، دکتر امیرحسین سیاح زاده. دانشگاه ملایر، دانشکده کشاورزی.
- جعفری‌گلو، ناصر؛ علی‌محمد خورشید دوست، مجید رضایی بنفشه و داشم رستم‌زاده. ۱۳۹۷. بررسی تغییرات شروع و خاتمه یخبدان‌ها و سرماه‌های مؤثر در کشاورزی تحت شرایط تغییر اقلیم در شمال غرب ایران. تحلیل فضایی مخاطرات محیطی، ۴: ۶۴-۴۹.
- جهانبخش اصل، سعید؛ شهناز راشدی و مهدی اصلاحی. ۱۳۹۵. تجزیه و تحلیل دوره‌های بازگشت یخبدان و توزیع زمانی آن در مراغه. نشریه جغرافیا و برنامه‌ریزی، ۵۸: ۸۳-۱۰۰.
- حسینی، سید محمد و علیرضا کاشکی. ۱۴۰۰. پایش آب و هواشناسی روزهای برفی در زاهدان، فصلنامه جغرافیای طبیعی، ۵۴: ۷۱-۵۷.
- خلیلی، علی؛ جابر رحیمی و جواد بدراوشان. ۱۳۹۶. پیش‌نگری کمی اثرات محتمل تغییر اقلیم بر تاریخ و ریسک رخداد یخبدان دیررس بهاره طی قرن بیست و یکم در ایران. نشریه هواشناسی کشاورزی، ۲: ۴۸-۳۸.
- rstemiyan، مهناز و امیرحسین حلبيان. ۱۳۹۷. واکاوی آماری تواتر و تداوم روزهای یخبدان در استان خراسان جنوبی با بهره‌گیری از مدل زنجیره مارکوف، برنامه‌ریزی فضایی، ۳: ۶۰-۳۹.
- رضائی، پرویز و حسین عابد. ۱۳۸۹. بررسی روند تغییرات دمای حداقل در ایستگاه همدیدی شهر رشت با تأکید بر دوره یخبدان. فصلنامه جغرافیا و مطالعات محیطی، ۴: ۴۸-۳۹.
- صلاحی، برومند. ۱۳۹۵. پیش‌بینی و تحلیل رخداد یخبدان‌های سبک و سنگین استان اردبیل با استفاده از خروجی ریزگردن لارس دبلیو جی در دهه‌های آینده. پژوهش‌های دانش زمین، ۳: ۲۷-۱.

- کاشکی، عبدالرضا؛ حسین ایمانی‌پور و مینا فیروز یزدی. ۱۳۹۷. واکاوی تعداد روزهای یخنیان ایستگاه همدید گرگان با رویکرد تغییر اقلیم. پژوهش‌های حفاظت آب و خاک (علوم کشاورزی و منابع طبیعی)، ۶: ۲۷۹-۲۶۹.
- کاویانی، محمد رضا. ۱۳۸۶. میکروکلیماتولوژی. چاپ دوم. تهران: انتشارات سمت.
- مریانجی، زهره و علی براتیان. ۱۳۹۵. تغییرپذیری فصل یخنیان در استان همدان، مجله آب و هوای‌شناسی کاربردی، ۳: ۵۶-۴۱.
- مسکری، ابراهیم؛ تقی طاووسی و پیمان محمودی. ۱۳۹۹. مدلسازی توپو-اقلیم شناسی و پنهان‌بندی شاخص‌های آماری یخنیان استان کردستان. نشریه جغرافیا و برنامه‌ریزی، ۲۴: ۳۸۳-۳۵۷.
- مصطفی‌زاده، رئوف و سونیا مهری. ۱۳۹۷. تعیین وضعیت و تغییرات شاخص فصلی بارش در بخش مرکزی استان اردبیل، پژوهش‌های آبخیزداری، ۳: ۳۹-۲۹.
- مصطفی‌زاده، رئوف؛ وحید صفریان زنگیر، خدیجه حاجی. ۱۴۰۰. ارتباط و تأثیر متغیرهای اقلیمی بر وقوع تصادفات جاده‌ای (مطالعه موردی: محور بزرگ جاده گرمی-اردبیل)، تحلیل فضایی مخاطرات محیطی، ۴: ۲۶-۱۷.
- مظفری، غلامعلی. ۱۳۹۳. بررسی روند تاریخ آغاز و خاتمه آستانه‌های دمای صفر و پنج درجه سانتی‌گراد در ایستگاه‌های منتخب ایران. تحقیقات جغرافیایی، ۲، ۱۱۱-۹۳.

- Chmielewski, F. M., Götz, K. P., Weber, K. C., Moryson, S. 2018. Climate change and spring frost damages for sweet cherries in Germany. *International journal of biometeorology*, 62(2): 217-228.
- Easterling, D. R., 2002. Recent changes in frost days and the frost-free season in the United States, *American meteorological society*, 83: 1327-1332.
- Eccel, E.; R. Rea, A. Caffarra., Crisci, A. 2009. Risk of spring frost to apple production under future climate scenarios: the role of phonological acclimation. *International journal of biometeorology*, 53(3): 273-286.
- Graczyk, D.; Z. W. Kundzewicz., 2015. Changes of temperature-related agro climatic indices in Poland. *Theoretical and Applied Climatology*, 124:401 -410.
- Lhotka, O., Brönnimann, S. 2002. Possible Increase of Vegetation Exposure to Spring Frost under Climate Change in Switzerland. *Atmosphere*, 11(4): 391-400.
- Modala, N. R.; S. Ale, D. W. Goldberg, M. Olivares, C. L. Munster, N. Rajan, and R. A. Feagin. 2016. Climate change projections for the Texas High Plains and Rolling Plains. *Theoretical and Applied Climatology*, 124:1 -18.
- Pohl, B., Joly, D., Pergaud, J., Buoncristiani, J. F., Soare, P., Berger, A. 2019. Huge decrease of frost frequency in the Mont-Blanc Massif under climate change. *Scientific reports*, 9(1): 1-7.
- Potop, V., Zahraniček, P., Türkott, L., Štěpánek, P. 2013. Impacts of potential climate change on damaging frost during growing season of vegetable crops in Elbe River Lowland (Polabí). *The Czech Republic. Natural hazards*, 71(1): 1-19.